





Amélioration des Sols par Inclusions Rigides

Opération du Réseau Génie Civil et Urbain

Sols renforcés par inclusions rigides : Modélisation physique en centrifugeuse de remblais et de dallage

Université de Nantes – Laboratoire Central des Ponts et Chaussées

Gaëlle Baudouin

gaelle.baudouin@polytech.univ-bpclermont.fr



Objectifs

Etude paramétrique sur modèle physique en centrifugeuse

- ODensité d'inclusions sur la surface renforcée
- OHauteur du matelas de transfert de charge

Modélisation en centrifugeuse

Principe de la modélisation en centrifugeuse

→ Contrainte verticale dans un sol à la profondeur H [m]

$$\sigma = \rho \times g \times H_{prototype}$$

→ Dans un modèle réduit à l'échelle 1/N

$$\sigma = \rho \times g \times H_{prototype} / N$$

- \rightarrow Sans centrifugeuse géotechnique $\sigma_{\text{modèle}} = \sigma_{\text{prototype}} / N$
- → Avec la centrifugeuse géotechnique

$$\sigma = \rho \times Ng \times H_{prototype} / N$$

$$\sigma_{\text{modèle}} = \sigma_{\text{prototype}}$$

Plan de la présentation

Modèle expérimental

Programme expérimental – Déroulement d'un essai

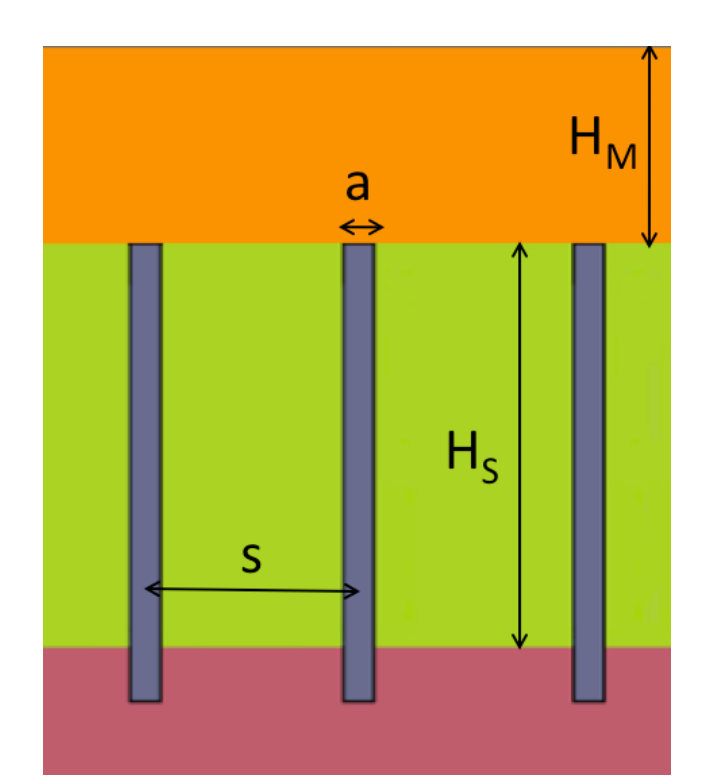
Résultats expérimentaux

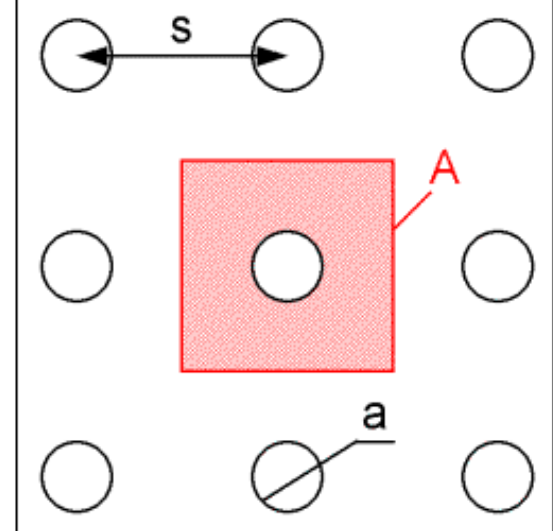
Conclusion et perspectives

Modèle expérimental

- Dimensions
- Matériaux
- •Instrumentation

Modèle expérimental : Dimensions





$$A_P = \frac{\pi . a^2}{4} \qquad A = s^2$$

Taux de couverture :

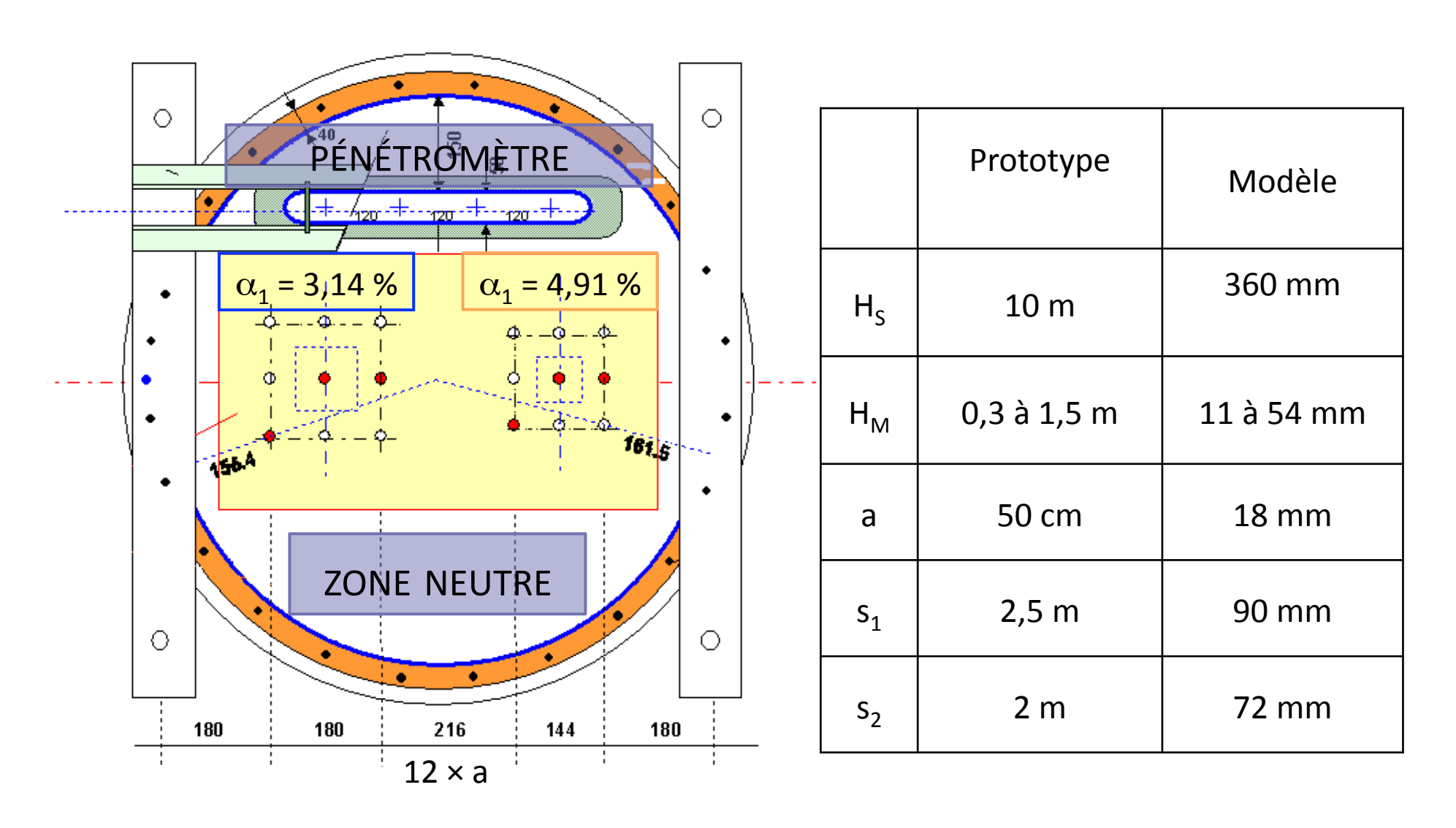
$$\alpha = \frac{A_P}{A}$$

Dimensions du modèle :

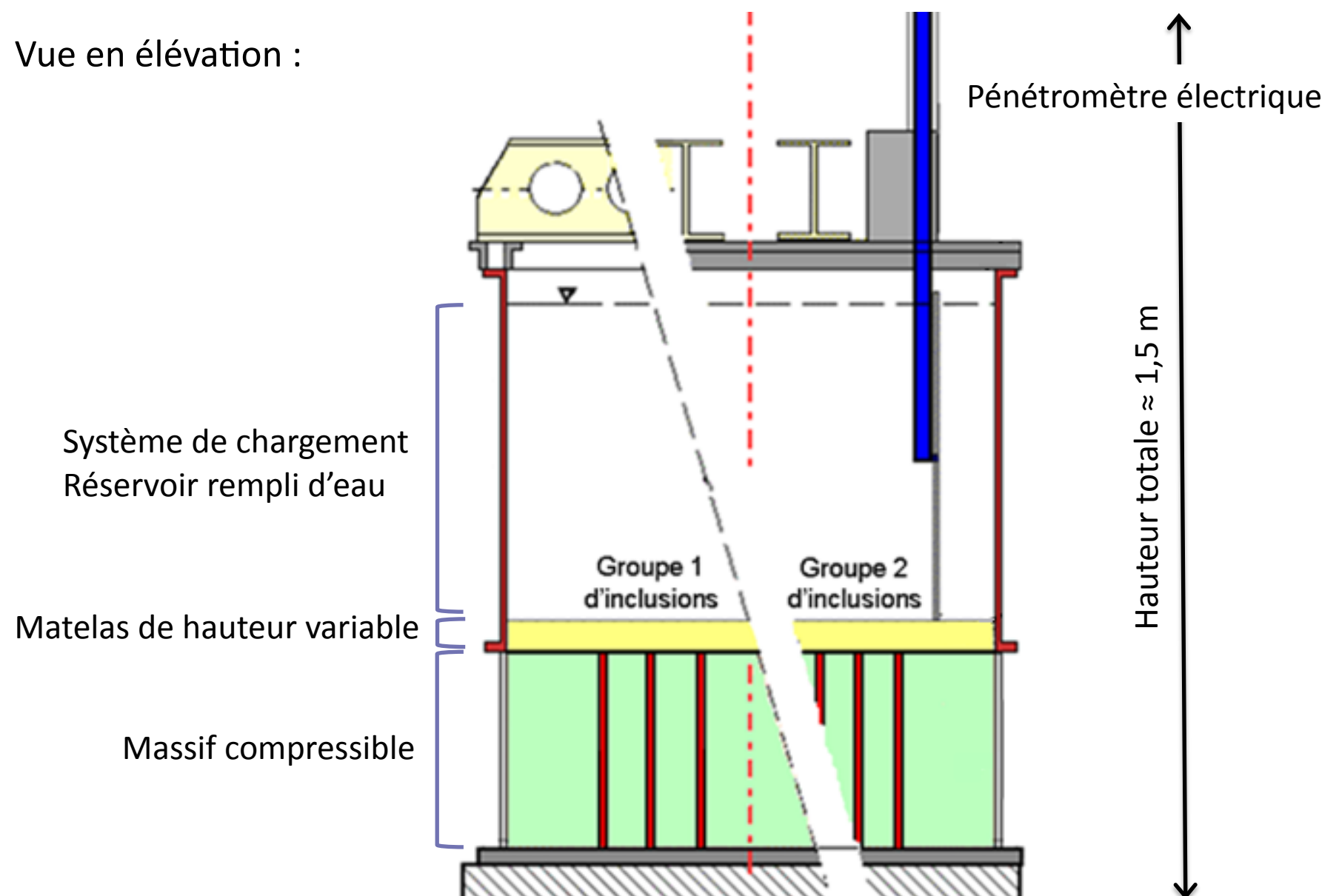
- Dimensions des inclusions
- Dimensions des capteurs
- Dimensions du conteneur d'essais
- Granulométrie du matelas

$$N = 27.8$$

Modèle expérimental : Dimensions



Modèle expérimental : Dimensions



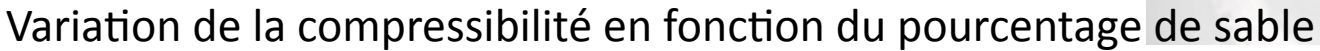
Modèle expérimental

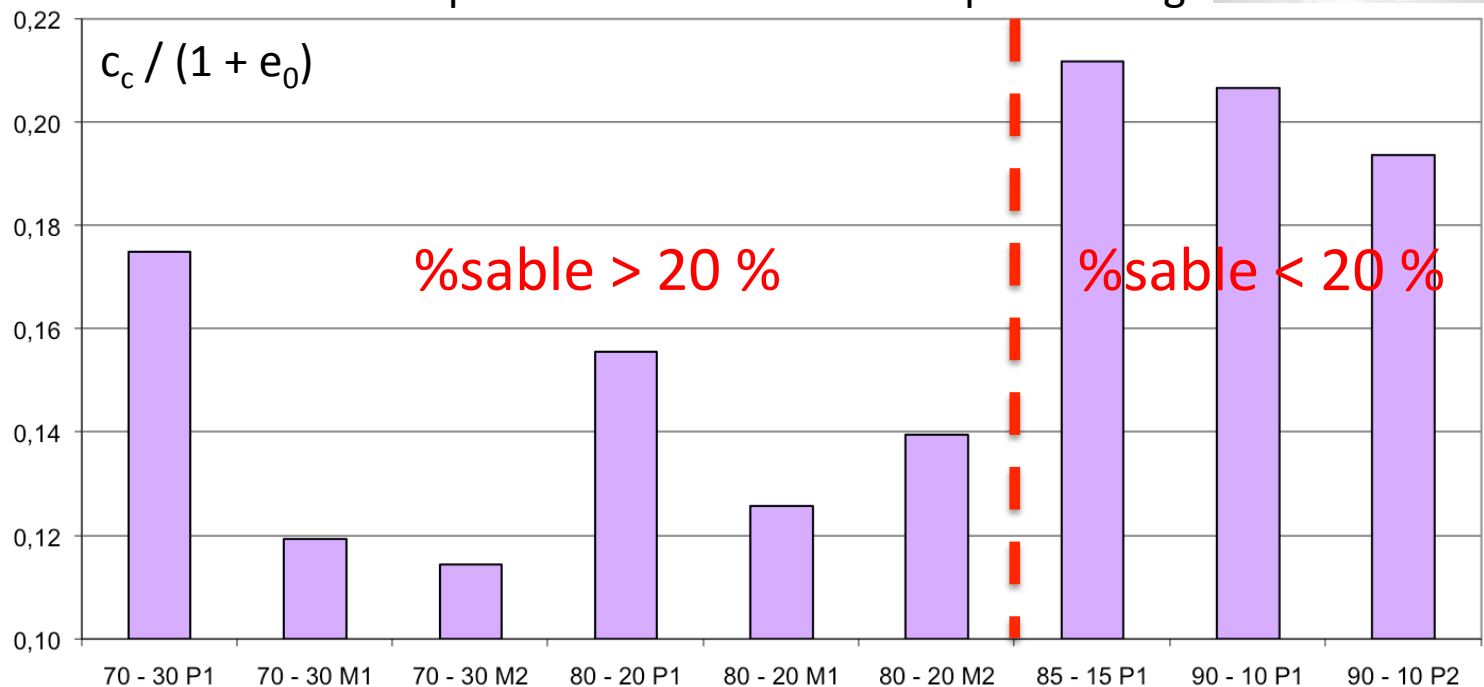
- **O**Dimensions
- Matériaux
- olnstrumentation

Modèle expérimental : Sol compressible

•kaolin Speswhite (80%) + sable de Fontainebleau (20%)

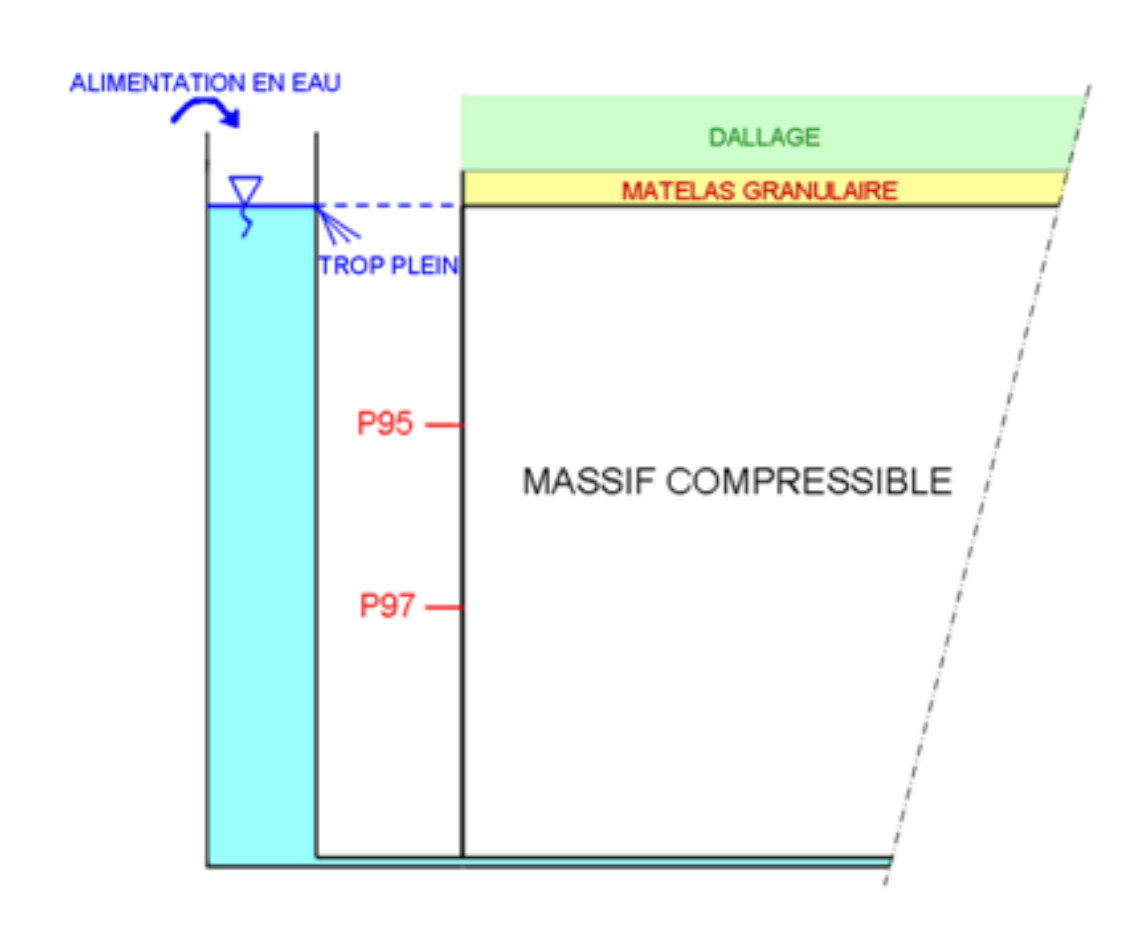
$$\cdot c_c / (1 + e_0) = 0.13$$





Modèle expérimental : Sol compressible

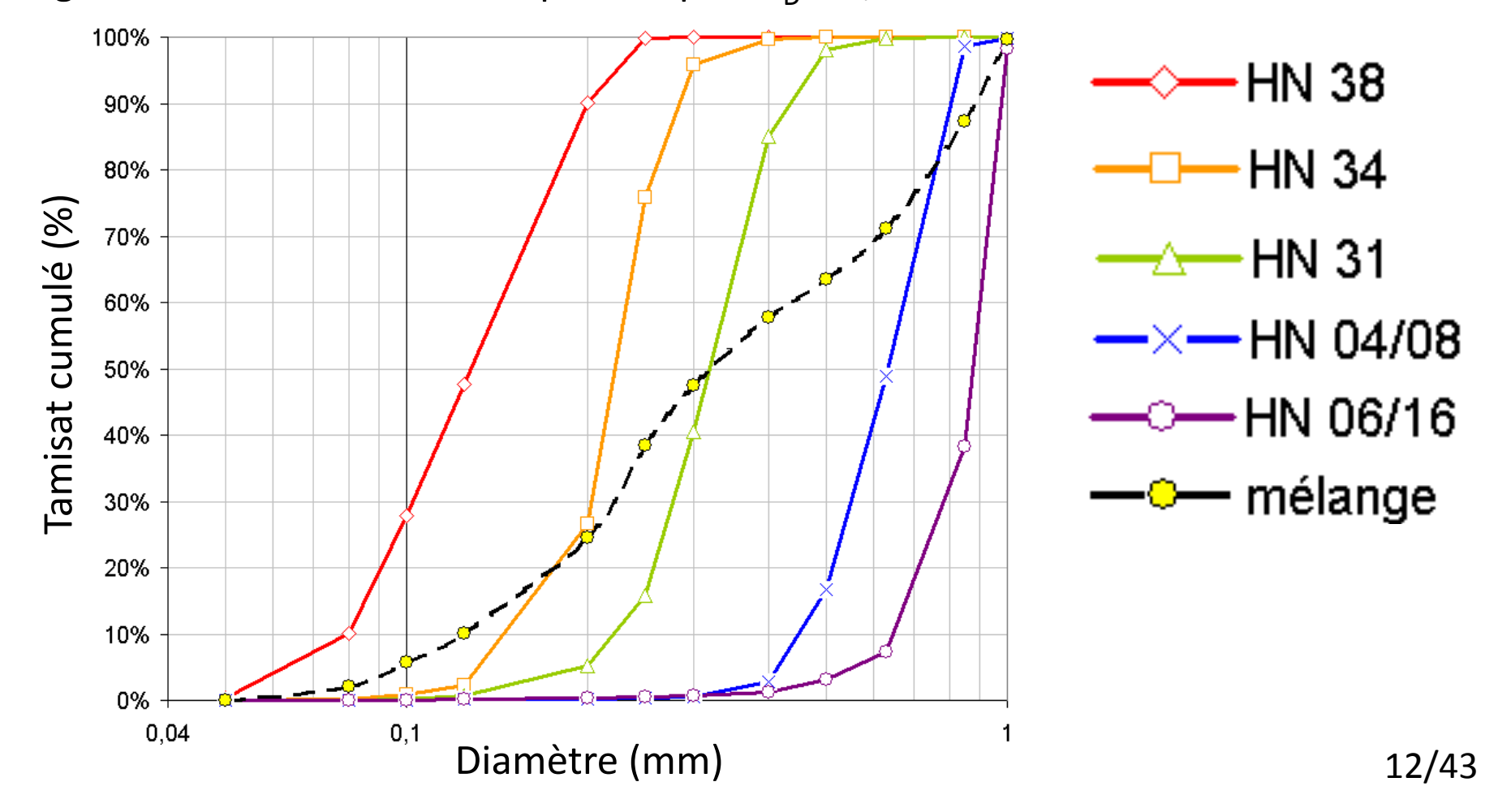
Maintien du niveau de la nappe dans le massif





Modèle expérimental : Sable du matelas

- •Mélange de 5 fractions du sable d'Hostun (0 − 1 mm) ≈ Grave B3, 0-31,5 (GTR)
- •Coefficient d'uniformité : C_U = 3,52
- •Angle de frottement interne : $\phi' = 42^{\circ}$ pour $I_D = 0.9$

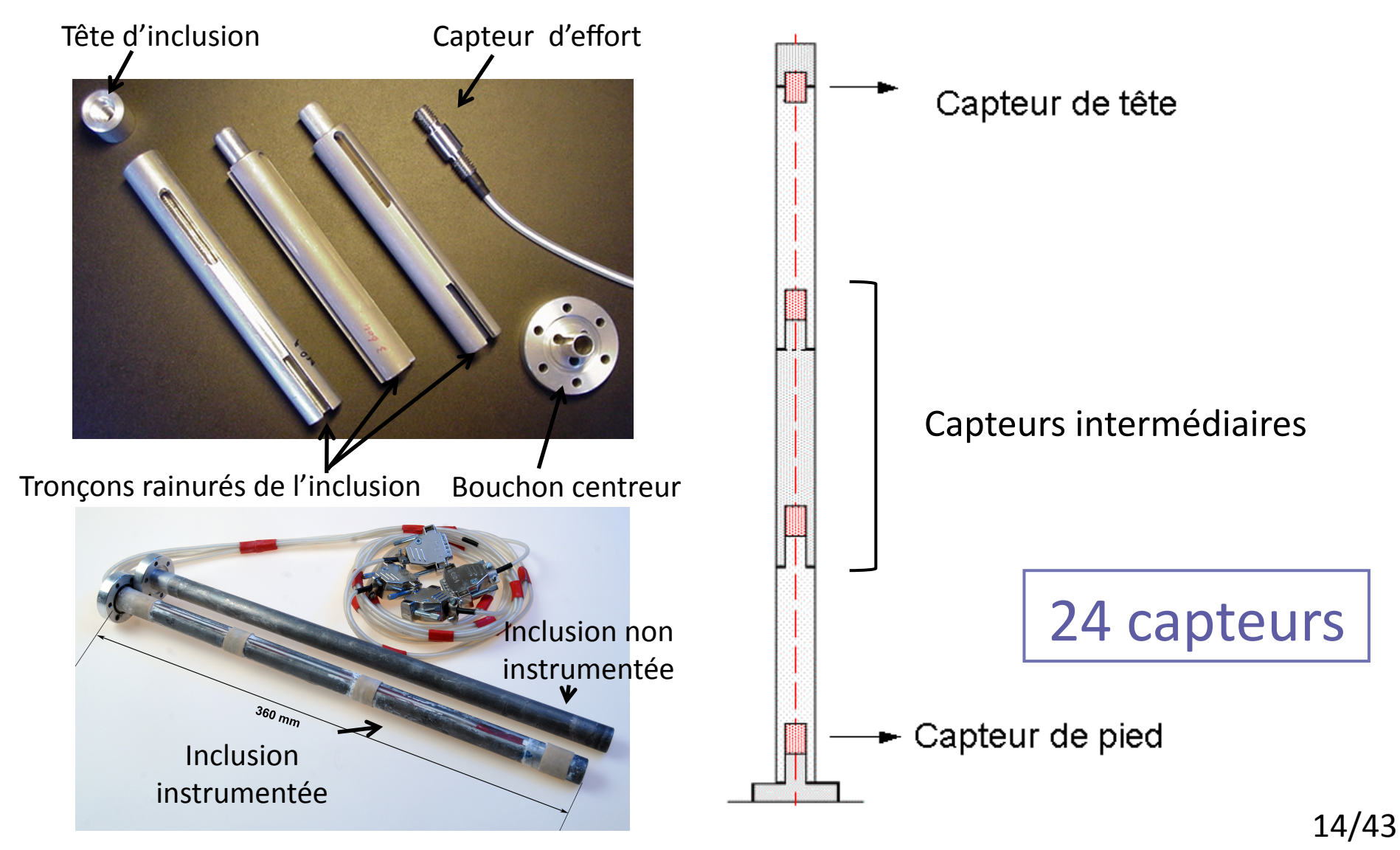


Modèle expérimental

- **O**Dimensions
- OMatériaux
- •Instrumentation

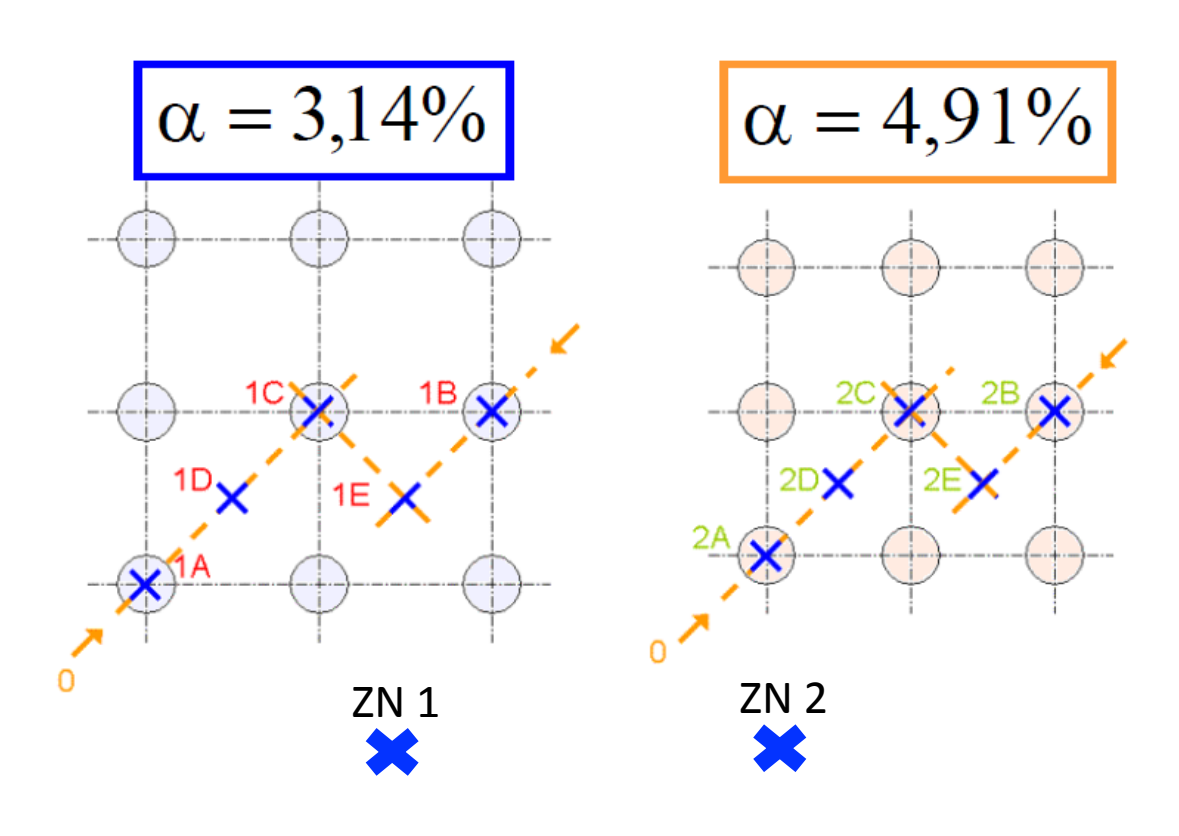
Modèle expérimental : Instrumentation

Mesure des efforts verticaux dans les inclusions

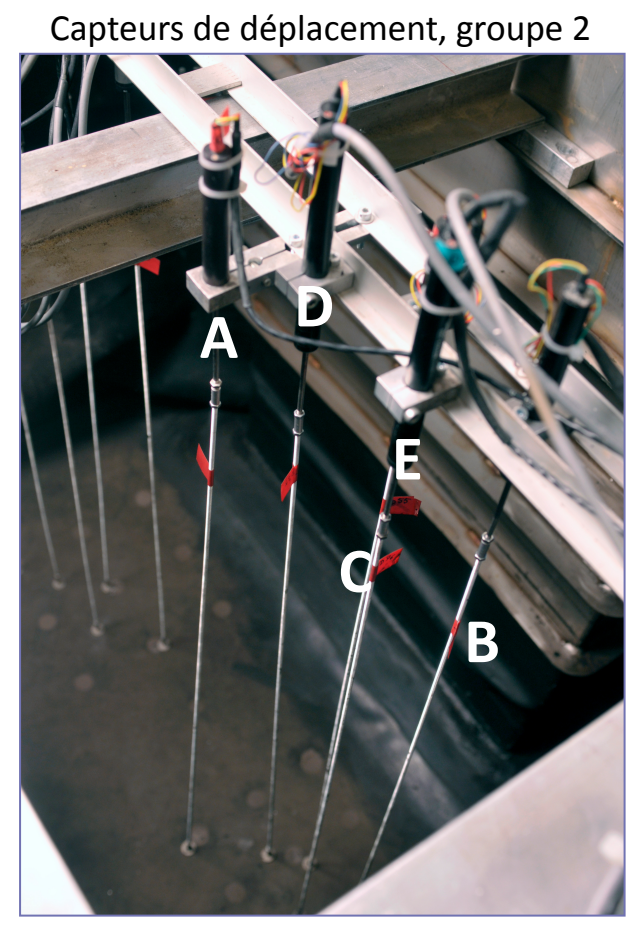


Modèle expérimental : Instrumentation

Mesure des déplacements en surface du matelas



12 capteurs



Modèle expérimental : Instrumentation

Instrumentation complémentaire

- o2 sondes de pression interstitielle
 - mesure surpressions dans le massif
- o2 sondes de pression
 - → mesure de la charge appliquée
- 2 capteurs de déplacement et 1 capteur d'effort
 - pénétromètre électrique

7 capteurs

43 capteurs

Modèle expérimental : Préparation et essai

<u>Vidéo</u>

Plan de la présentation

Modèle expérimental

Programme expérimental – Déroulement d'un essai

Résultats expérimentaux

Conclusion et perspectives

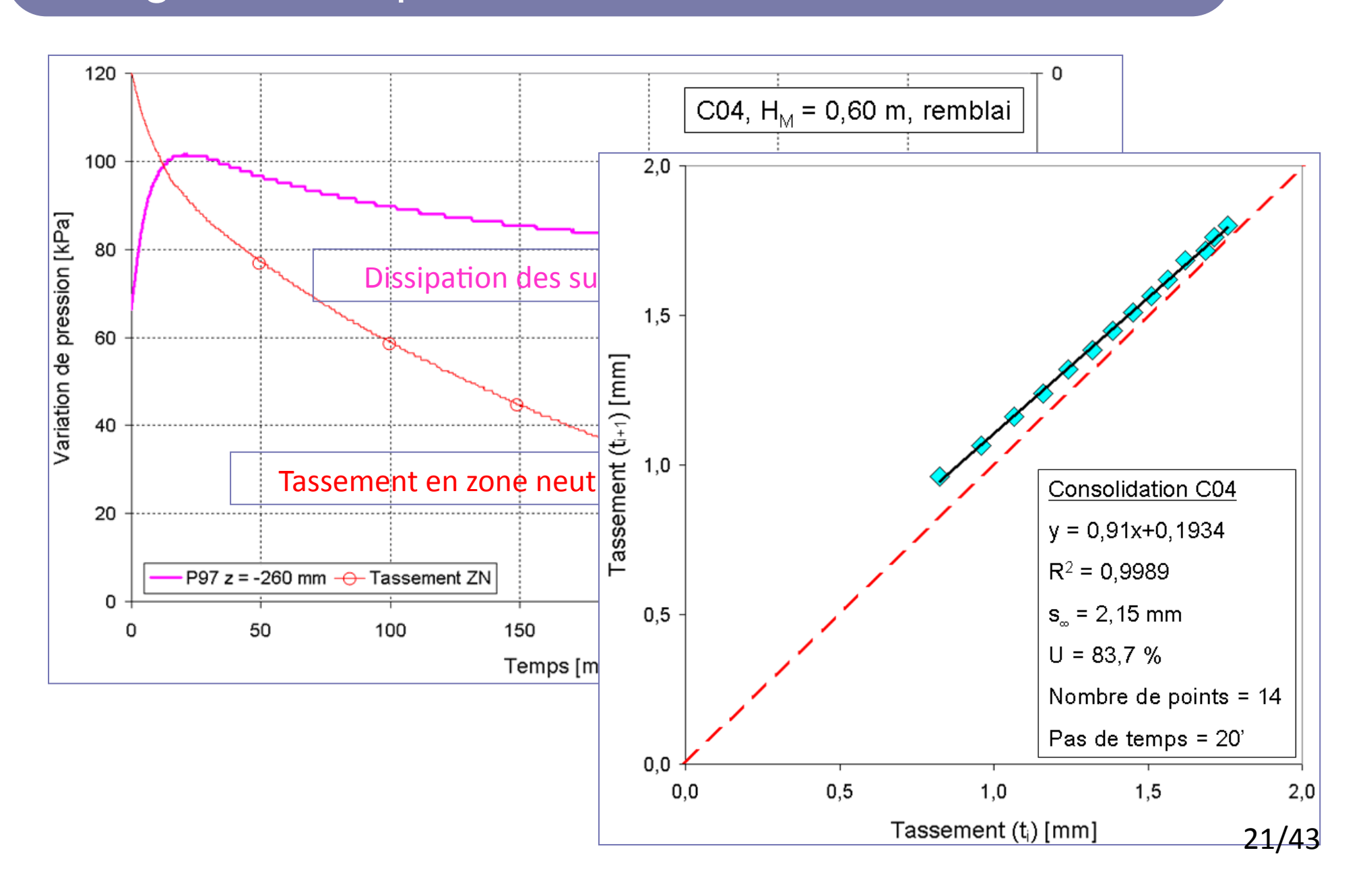
Programme expérimental, déroulement d'un essai

- Paramètres testés
- Suivi de la consolidation
- OReconnaissance pénétrométrique

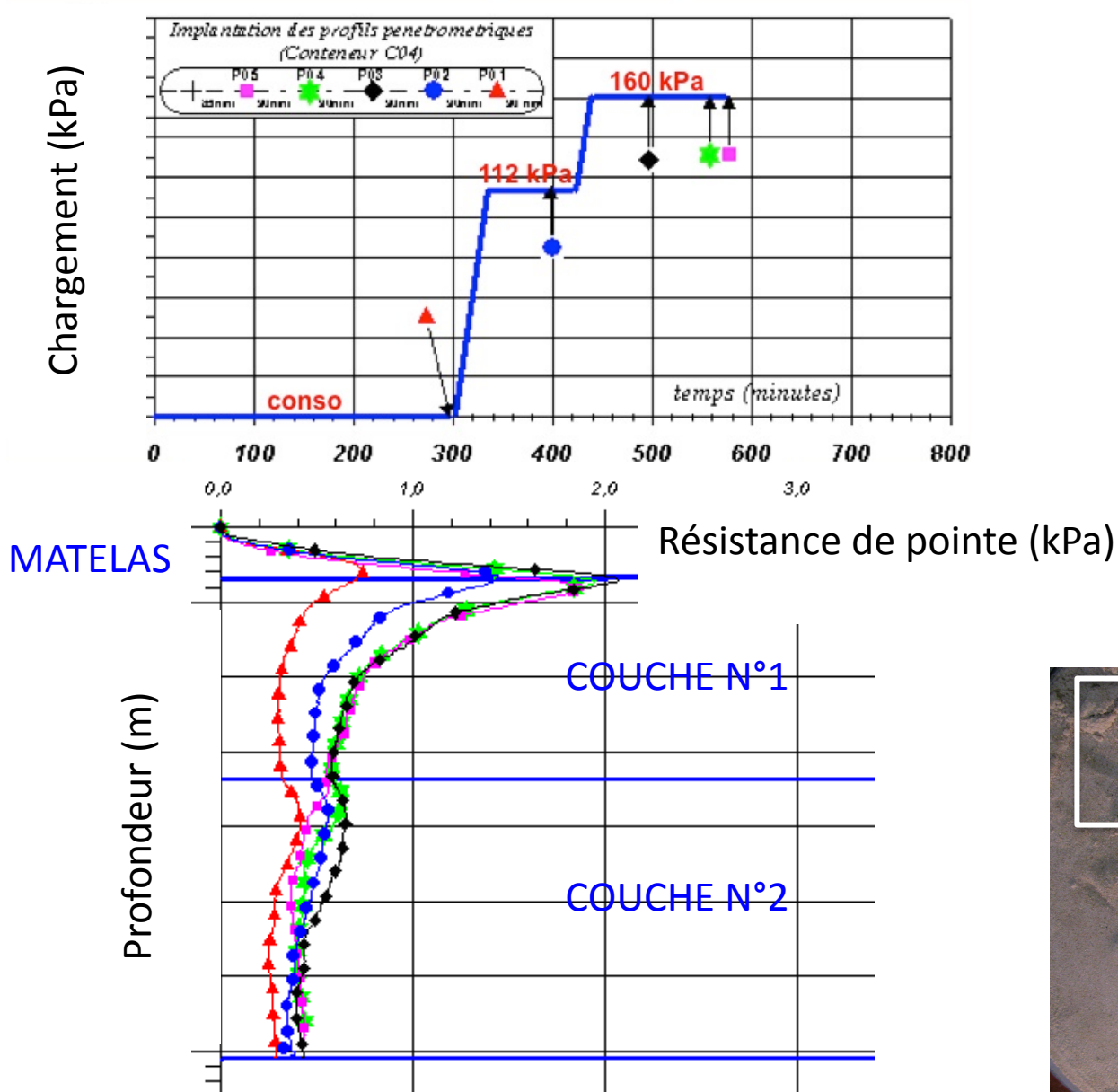
Programme expérimental : Paramètres testés

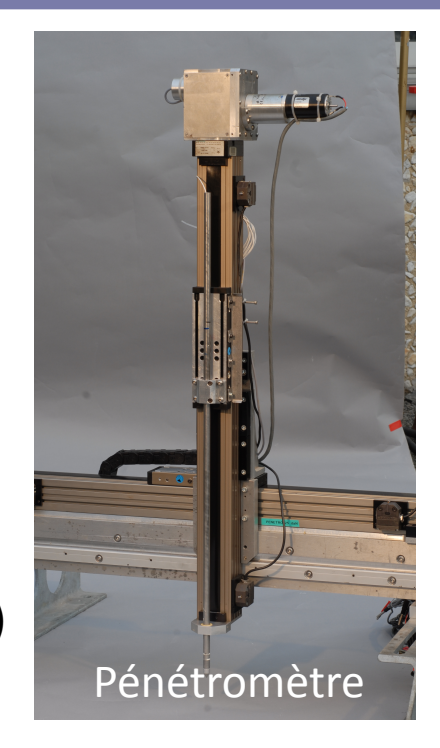
	Hauteur de matelas		Durée consolidation	Palier n°1	Durée du palier n°1	Palier n°2	Durée du palier n°2
	Noděle (mn.)	Н _м 0,6 m	(minutes)	(kPa)	(minutes)	(kPa)	(minutes)
C01	54	1,0 m	307	₆₃ ≈1	12 kPa	11 ≈1	L64 kPa
C02	36		330	112,6	81	161,3	103
C03	36	1,5 m	208	112,6	79	160,9	161
C04	21	0,6	307	114,3	93	160,9	154
C05	54	1,5	342	115,5	93	163,8	130

Programme expérimental : Suivi de la consolidation



Programme expérimental : Pénétromètre







Plan de la présentation

Modèle expérimental

Programme expérimental – Déroulement d'un essai

Résultats expérimentaux

Conclusion et perspectives

Résultats expérimentaux

- Chargement de type remblai
 - Tassements
 - Tassements différentiels
 - •Efforts en tête

Résultats expérimentaux

- Chargement de type remblai
 - Tassements
 - •Tassements différentiels
 - •Efforts en tête

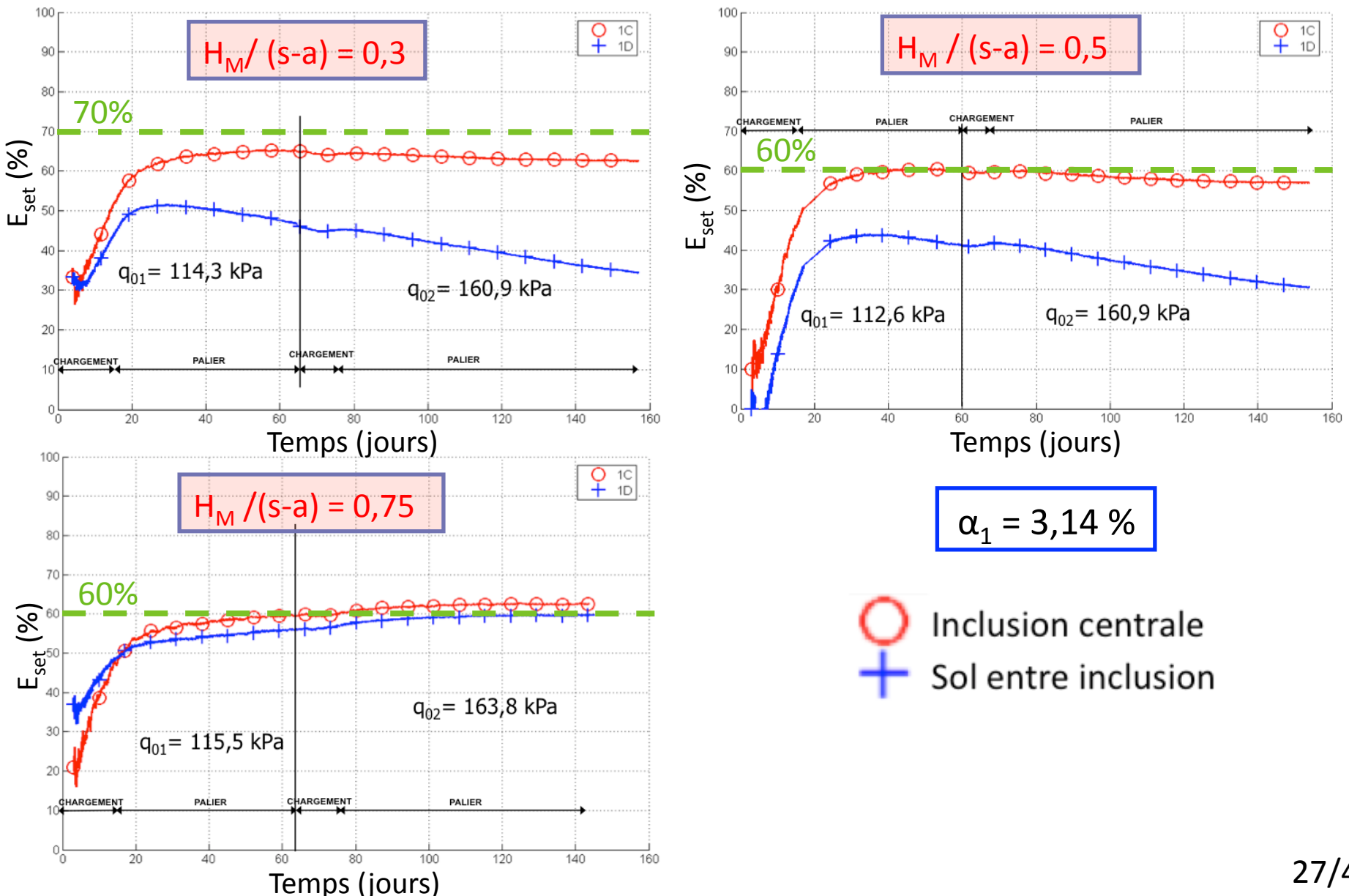
Chargement type remblai: Tassements

Efficacité en tassement, E_{set}

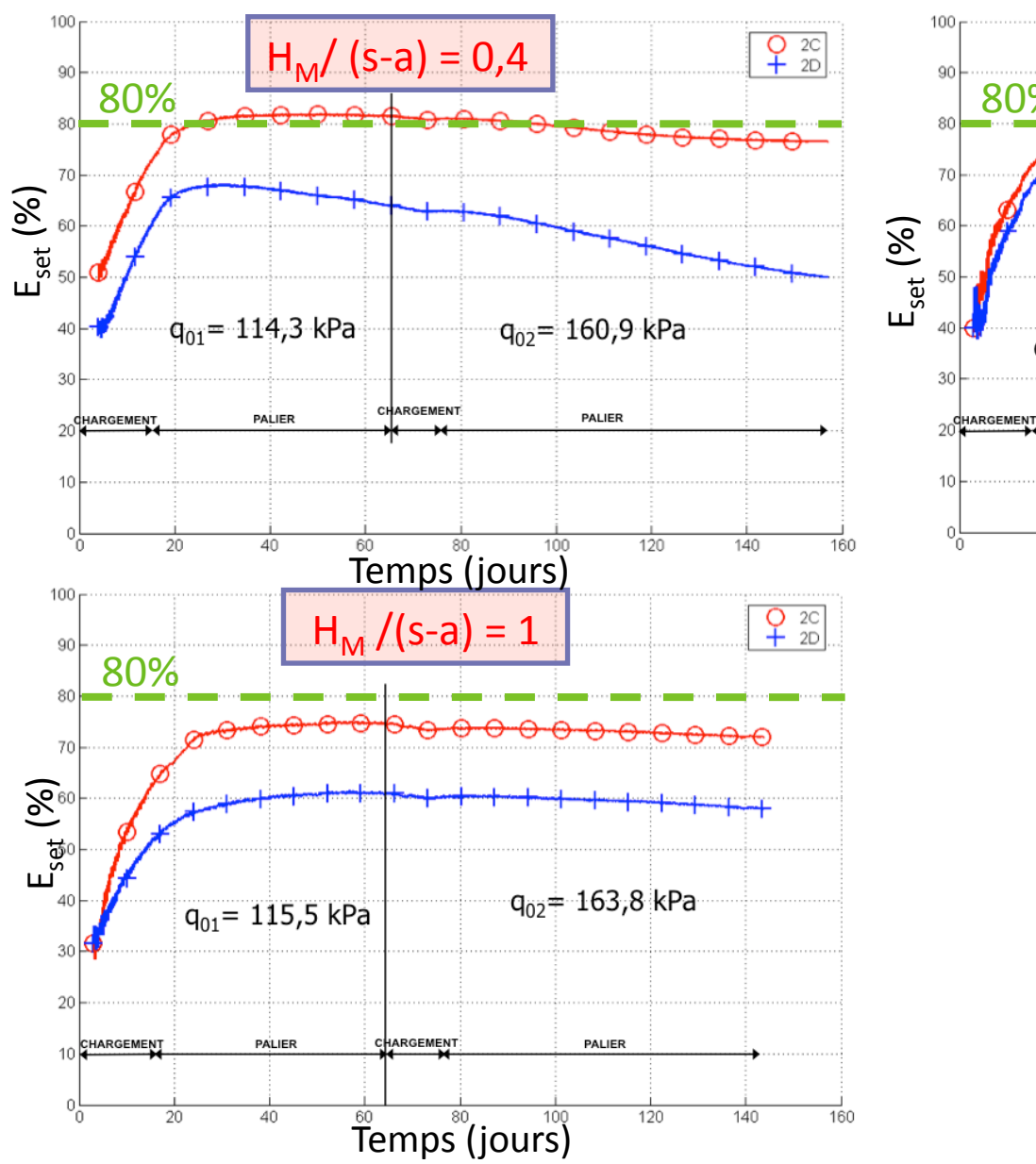
$$E_{set} = 1 - \frac{tassement_{zone.renforc\acute{e}e}(t)}{tassement_{zone.neutre}(t)}$$

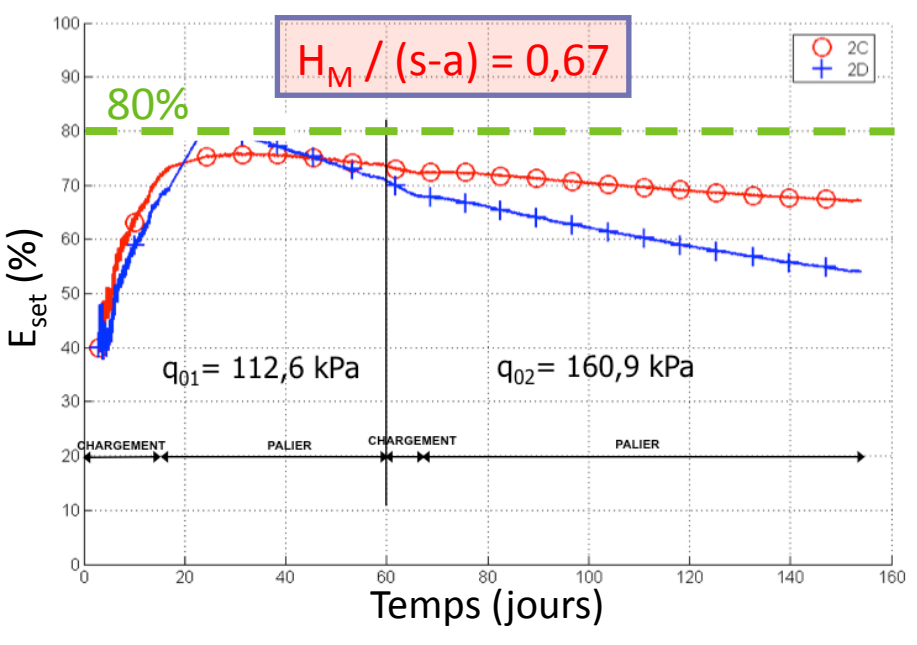
Cette valeur varie de 1 si il n'y a pas de tassement en surface de la zone renforcée à 0 si il n'y a pas de réduction de tassement.

Chargement type remblai: Tassements

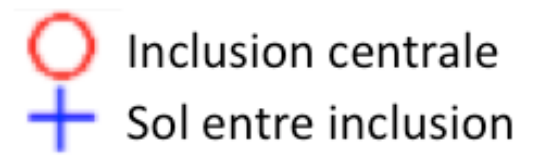


Chargement type remblai: Tassements



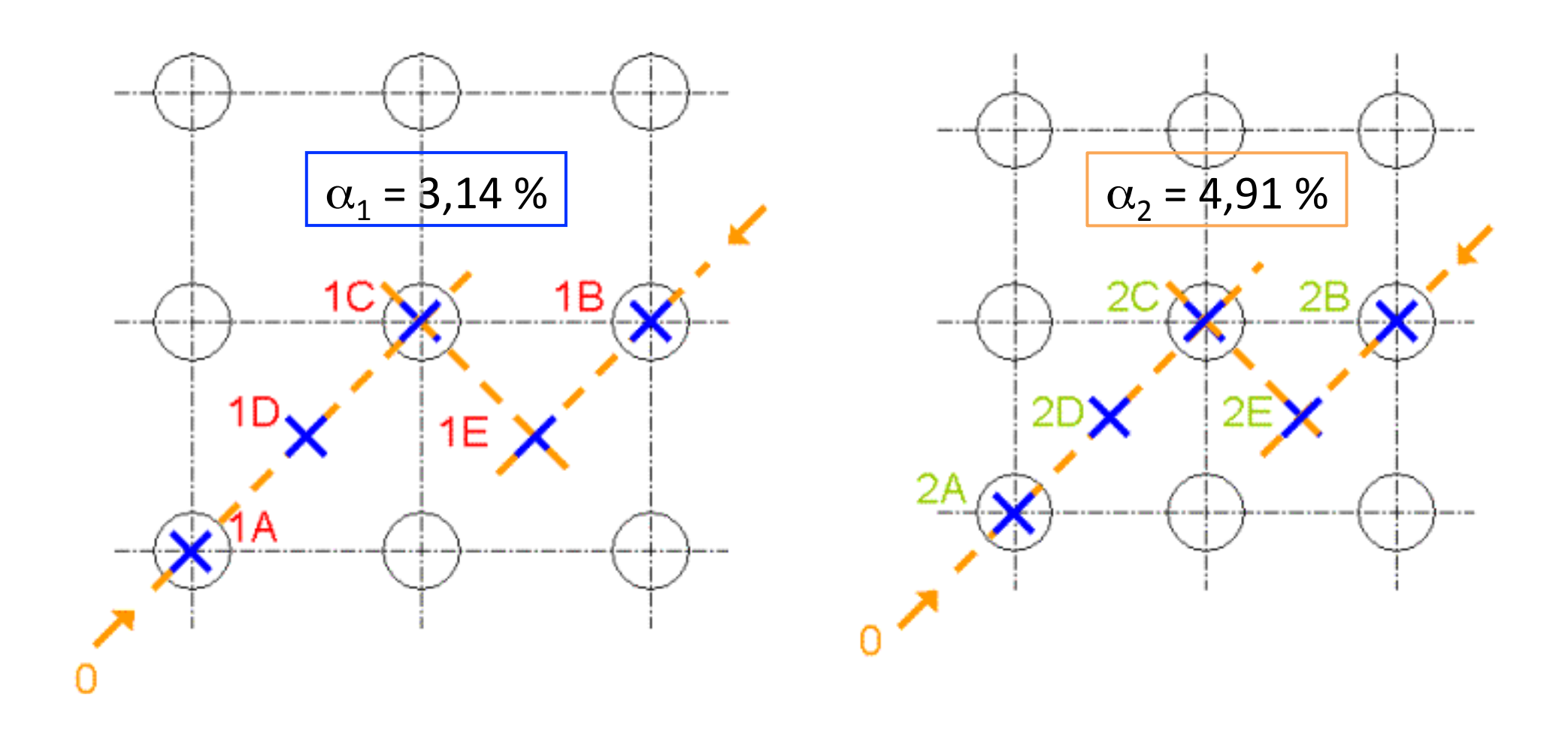


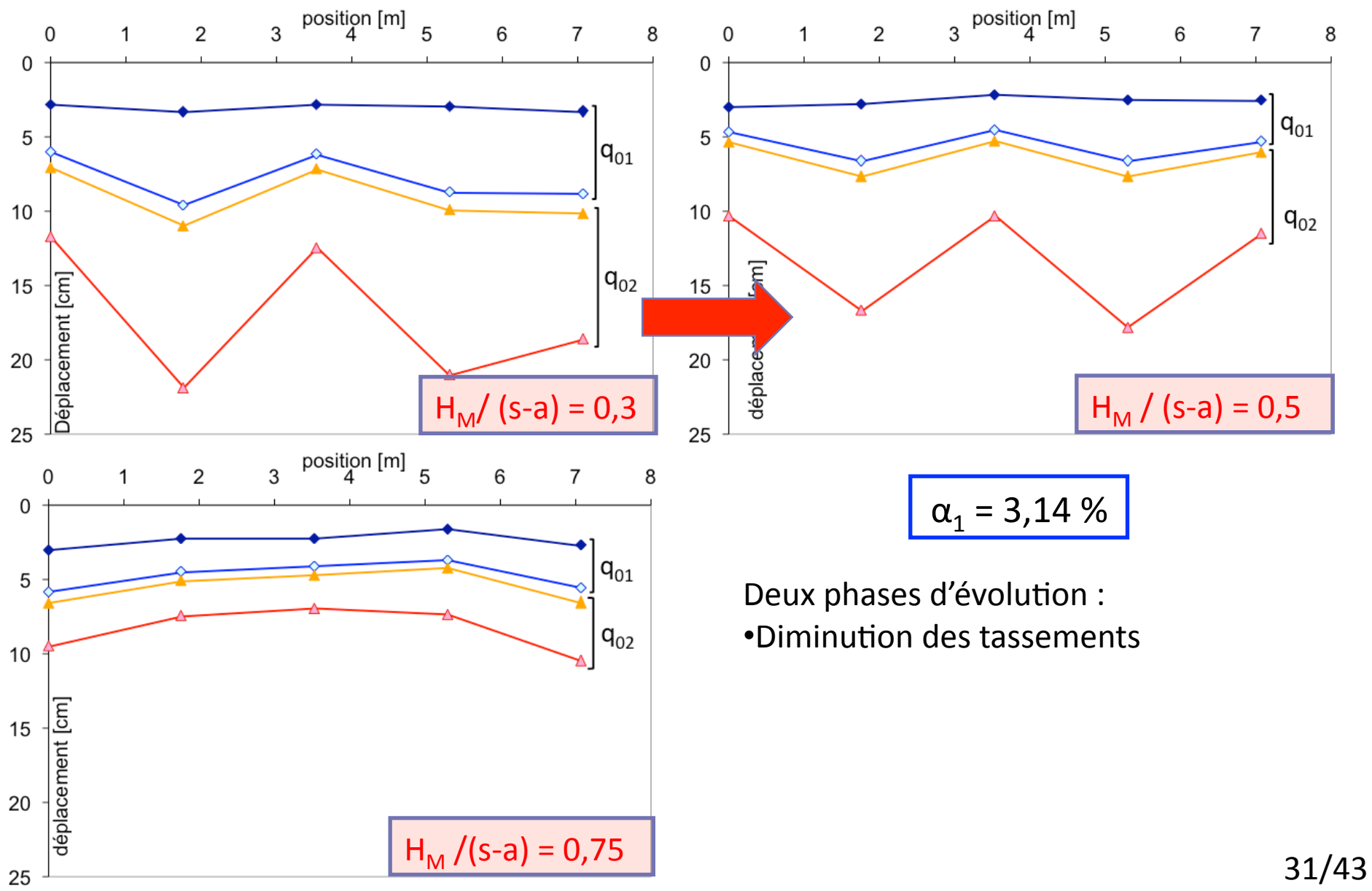
$$\alpha_2$$
 = 4,91 %

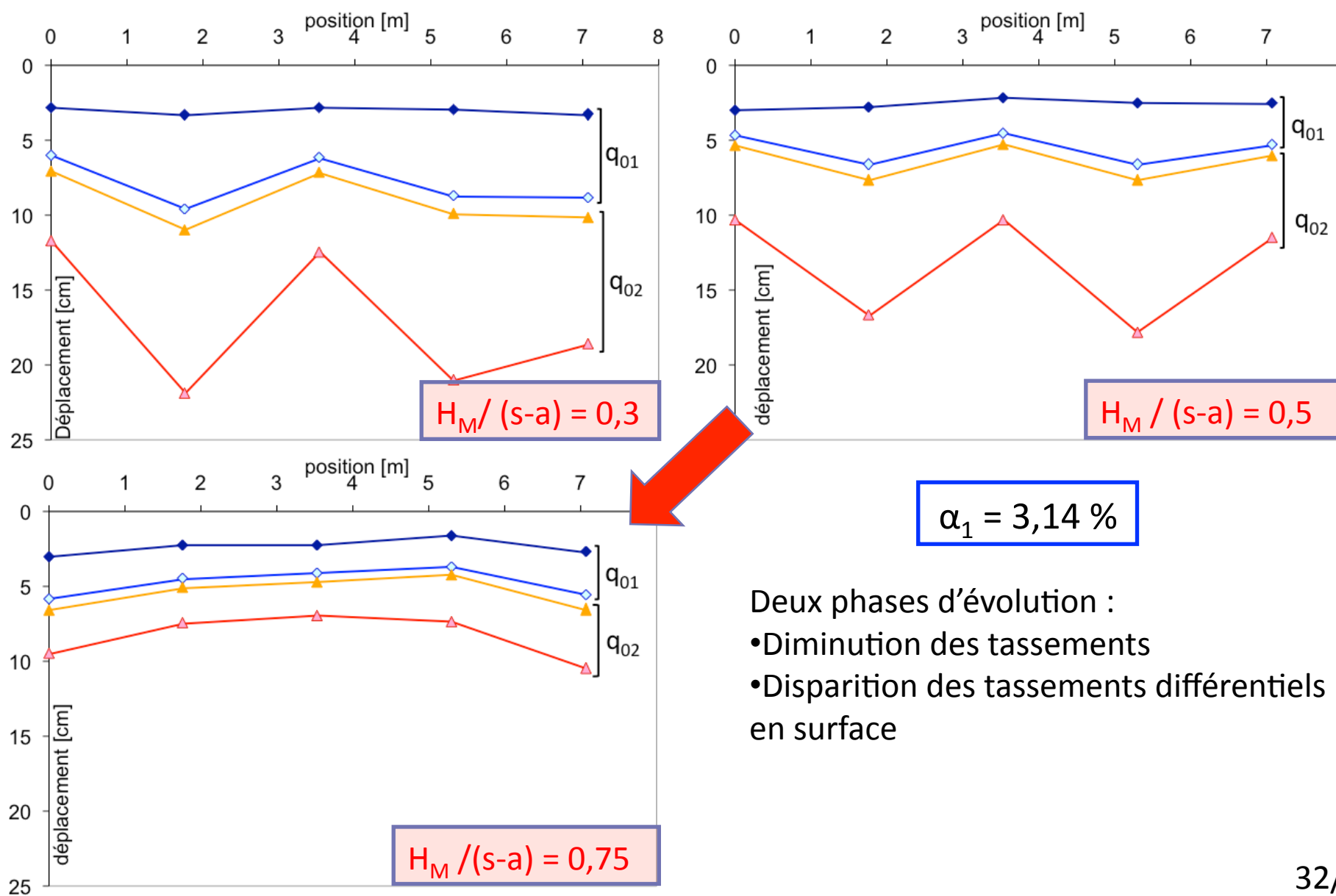


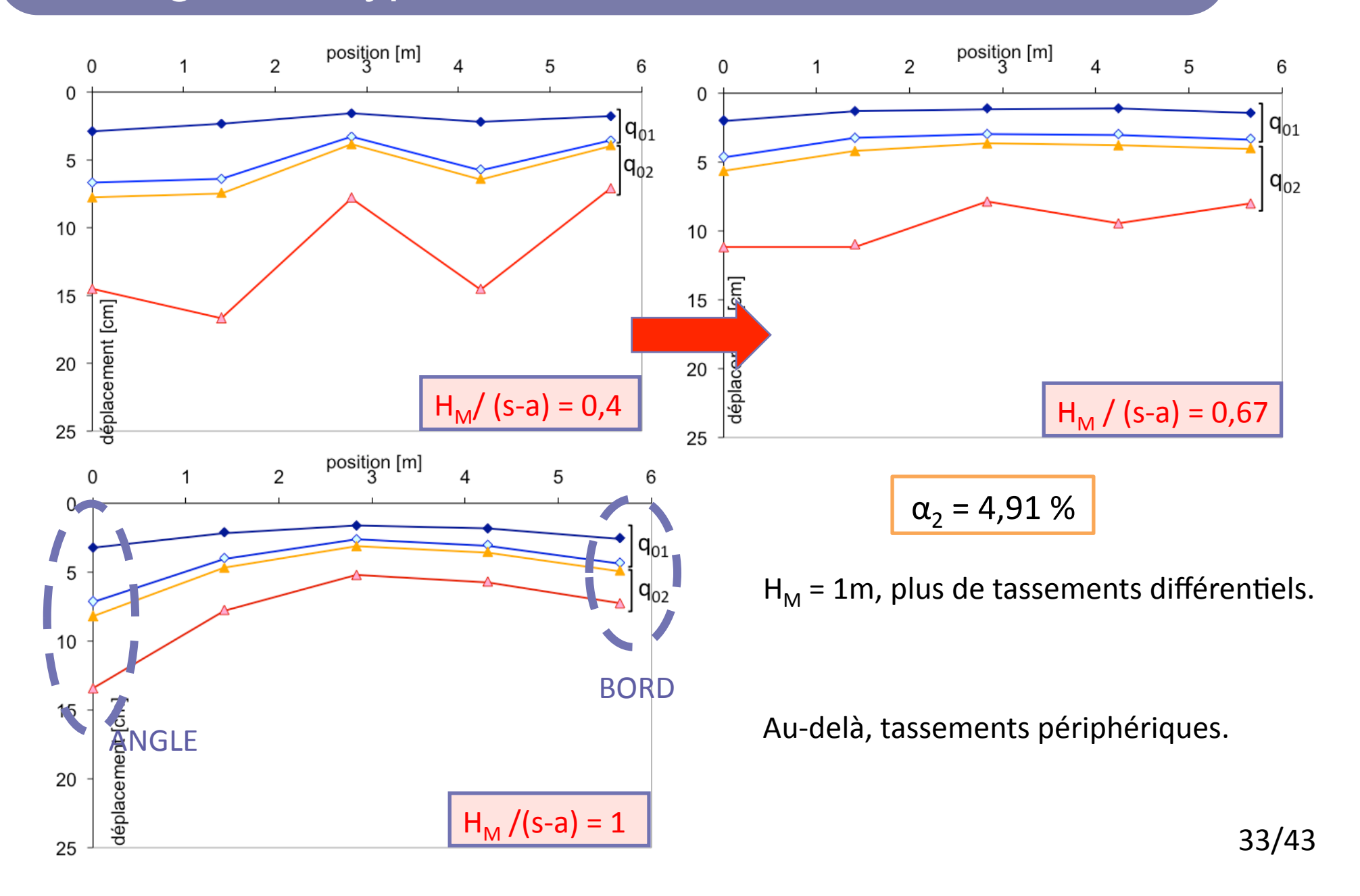
Résultats expérimentaux

- Chargement de type remblai
 - Tassements
 - Tassements différentiels
 - •Efforts en tête





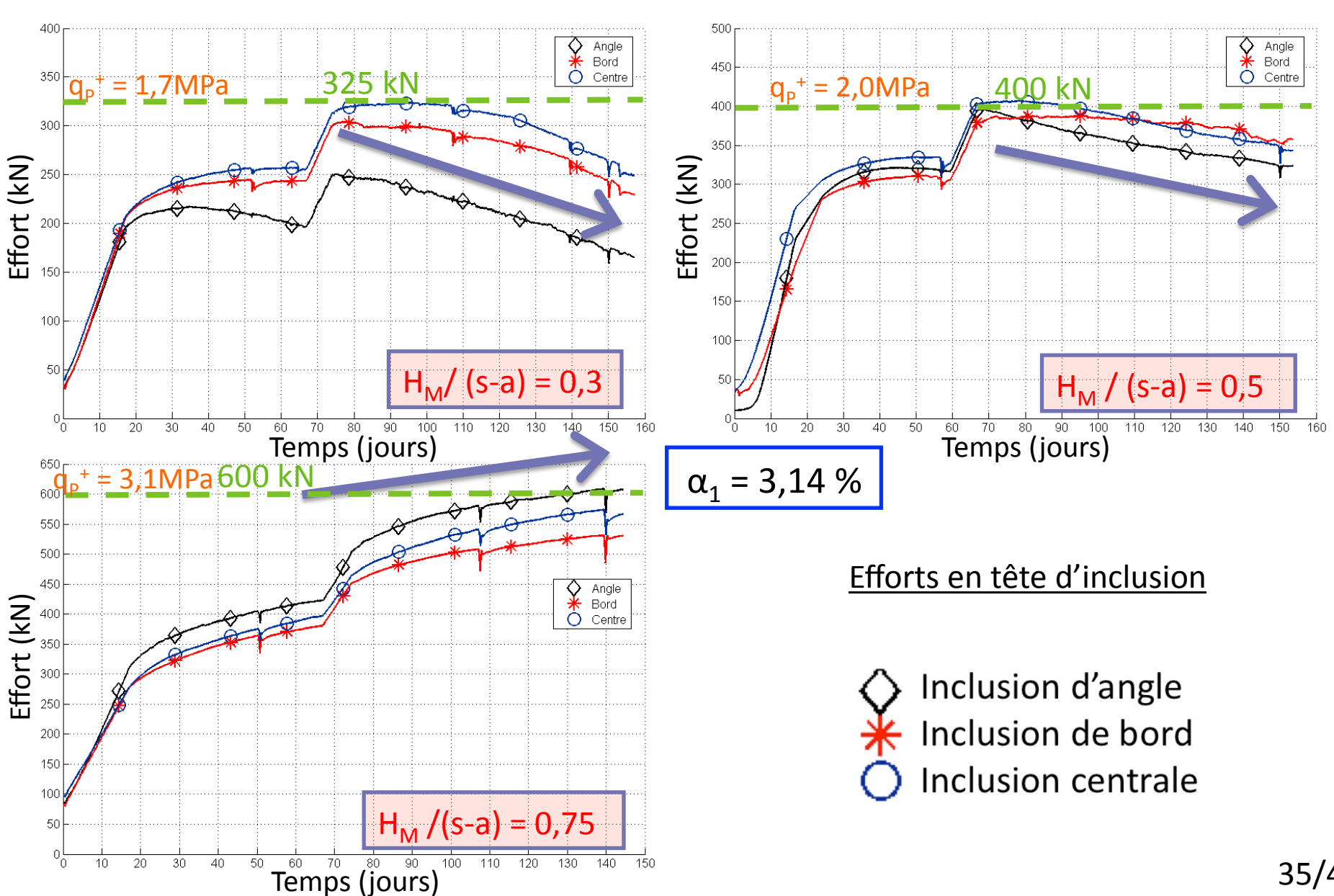




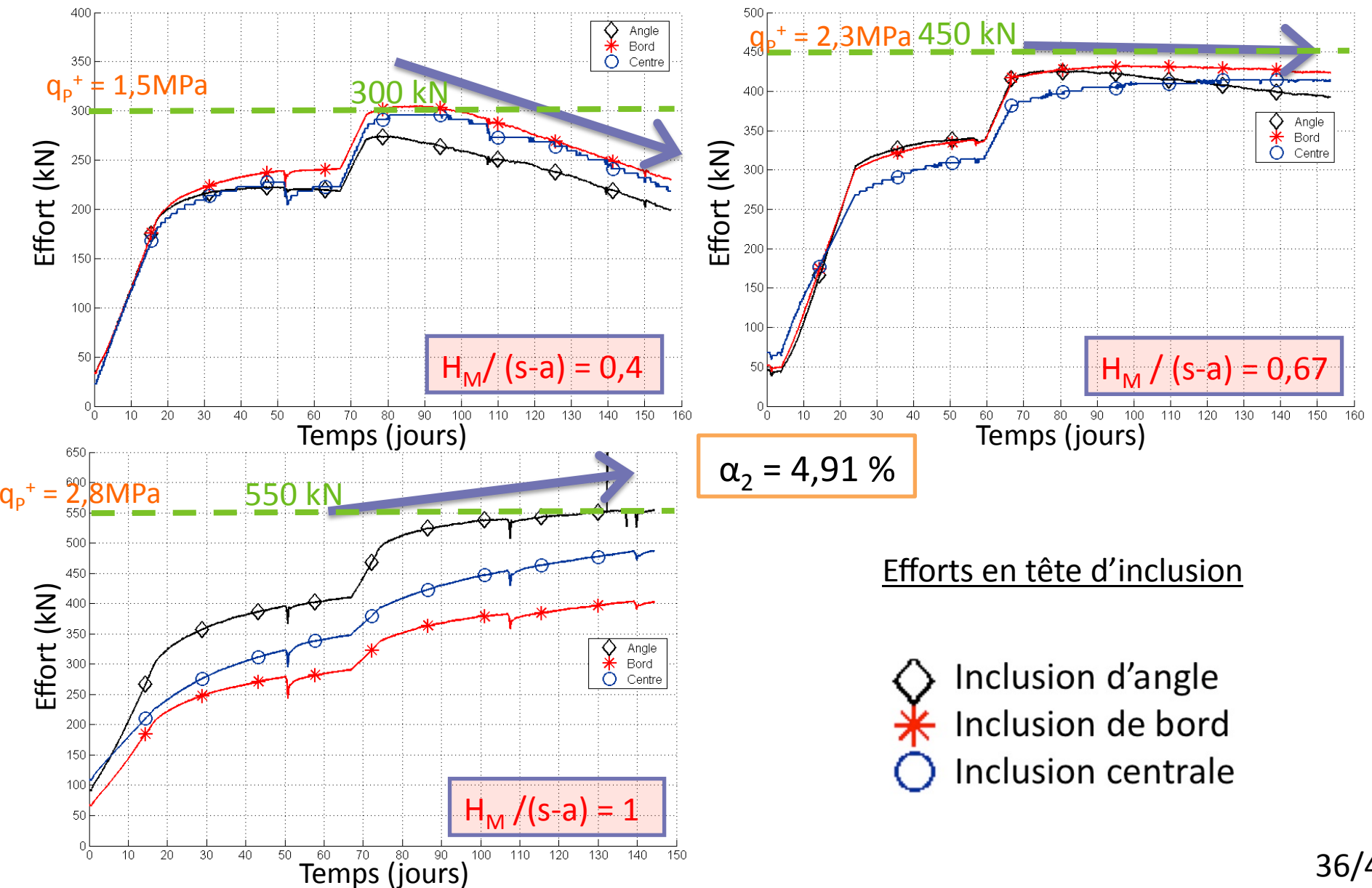
Résultats expérimentaux

- Chargement de type remblai
 - Tassements
 - •Tassements différentiels
 - •Efforts en tête

Chargement type remblai : Efforts en tête

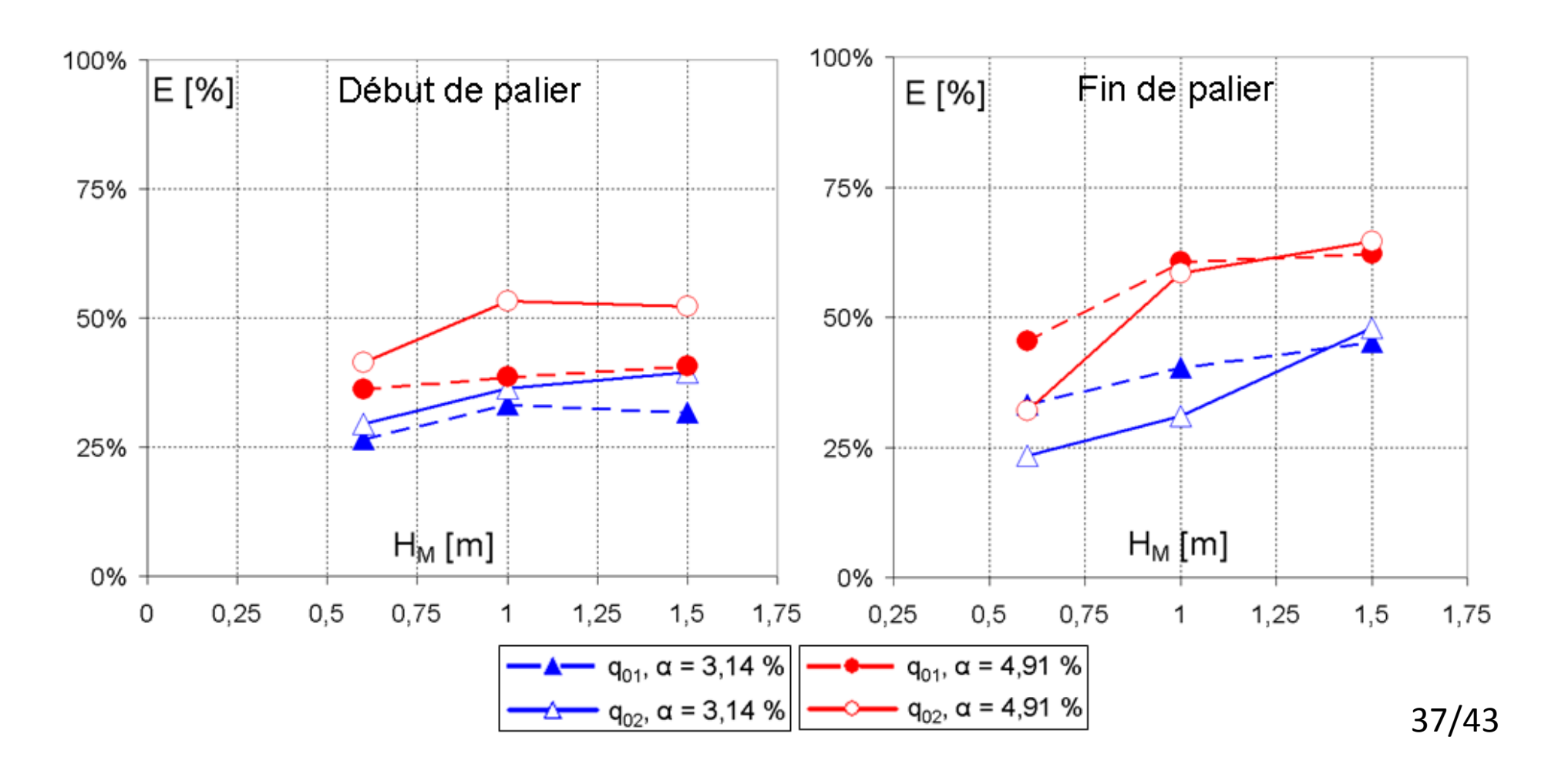


Chargement type remblai : Efforts en tête

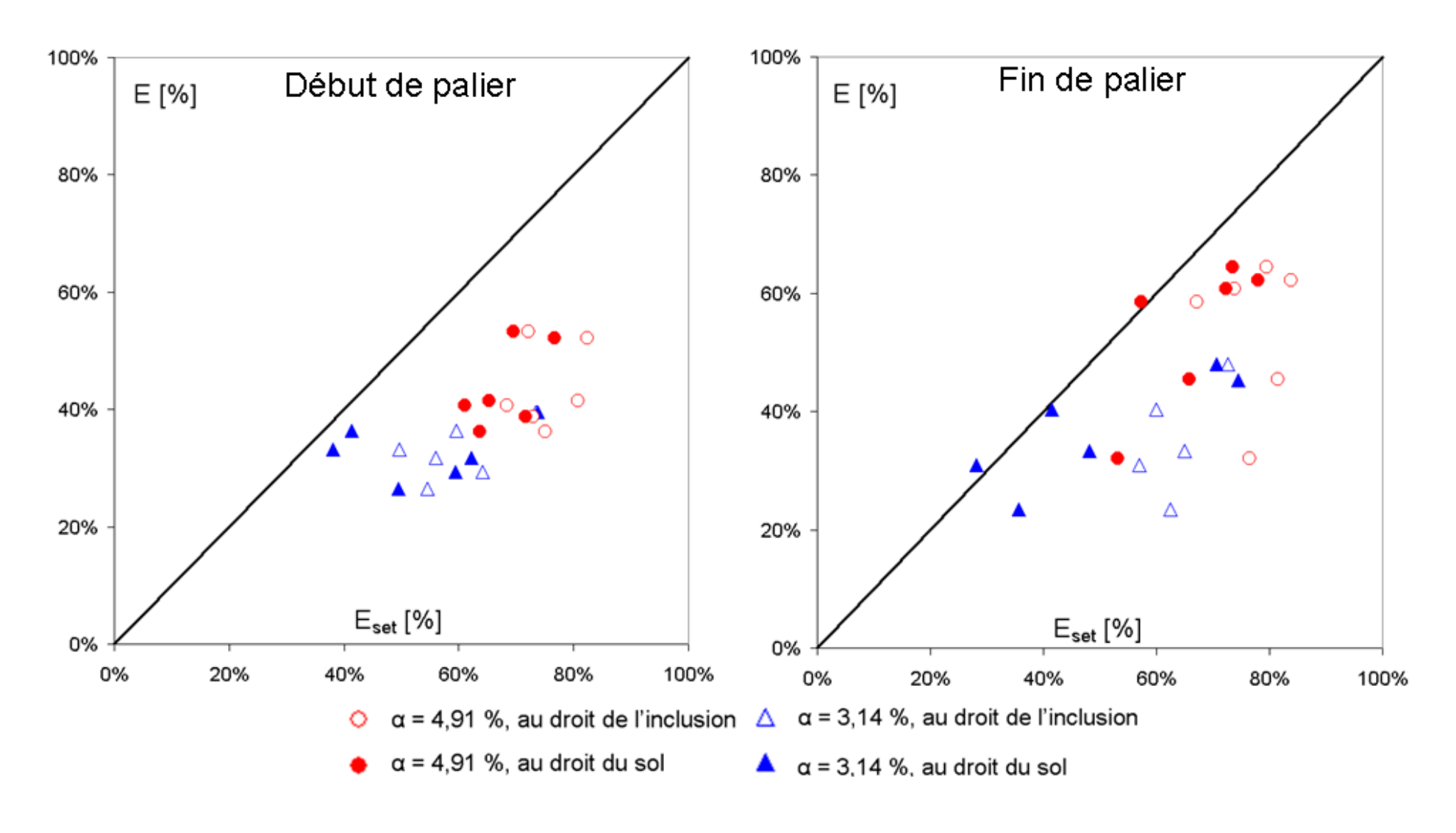


Chargement type remblai : Efficacité

$$E = \frac{Q_P^+}{Q^*}$$
 d'après Hewlett & Randolph, 1988



Chargement type remblai : E - Eset



Plan de la présentation

Modèle expérimental

Programme expérimental – Déroulement d'un essai

Résultats expérimentaux

Conclusion et perspectives

Conclusion

- • E_{set} augmente avec l'augmentation de H_M : pour H_M / (s-a) = 0,75, E_{set} atteint 70%.
- •L'influence de α sur E_{set} est d'autant plus forte que H_M est petit.
- •Les tassements différentiels «disparaissent » pour H_M / (s-a) > 2/3.

Conclusion

- •L'efficacité augmente avec H_M jusqu'à un palier de 65% (pour H_M / (s-a) \approx 2/3).
- •Quand α augmente de 56%, E augmente de 35%.

Perspectives

- •Tester d'autres valeurs de H_M et de (s-a).
- •Tester d'autres procédures de chargement.
- Changer les caractéristiques du matelas.
- ·Ajouter un renforcement de type géogrille.
- •Compléter une base de données expérimentales pour le calage de modèles numériques développés.

Perspectives

- •Modifier le dispositif pour autoriser le tassement des inclusions et leur mise en place en vol.
- •Ajouter des chargements ponctuels dans le cas de simulation du dallage, semelle carrée sur 4 inclusions ou encore des chargement incliné sur semelle.
- •Etudier le comportement sous sollicitations sismiques.







Amélioration des Sols par Inclusions Rigides

Opération du Réseau Génie Civil et Urbain

Sols renforcés par inclusions rigides : Modélisation physique en centrifugeuse de remblais et de dallage

Université de Nantes – Laboratoire Central des Ponts et Chaussées

Gaëlle Baudouin

gaelle.baudouin@polytech.univ-bpclermont.fr



Lois de similitude

Grandeurs physiques	Facteurs d'échelle		
Masse volumique	1		
Longueur	1 / N		
Déplacement	1/N		
Déformation	1		
Contrainte	1		
Vitesse	1		
Accélération	N		
Effort	$1/N^2$		
Temps, problèmes dynamiques	1 / N		
Temps, problèmes de diffusion	1 / N ²		

Liens entre les indicateurs de report de charge

Taux de réduction de contrainte :
$$SRR = \frac{q_S^+}{q_S^+}$$

Taux de concentration de contrainte :
$$n = \frac{q_P^+}{q_S^+}$$

$$SRR = \frac{1-E}{1-\alpha}$$
 $E = 1 - SRR(1-\alpha)$ $n = \frac{E(1-\alpha)}{\alpha(1-E)}$